

边界元方法简介

卢晟昊 2014011622

摘要：本文首先介绍了边界元法的发展历程、常用软件、核心思想、优缺点、原理，然后又介绍了边界元法在弹性问题和断裂力学中的应用。

关键词：边界元法、发展历程、软件、优缺点、快速多极算法、满阵

正文：

在弹性力学的小变形问题的解决方法中，有三种数学提法，分别是微分提法、变分提法、积分提法，与之相对应的数学模型则是偏微分方程、泛函极值、边界积分方程，与之相对应的数值方法则是差分法、有限元法、边界元法。

以下为边界元法的发展历程：

1963 年 M.A.Jaswon 将边界积分方程直接用于位势问题

1967 年 F.J.Rizzo 运用边界积分方程求解弹性静力学问题（第一篇文献）

1968 年 F.J.Rizzo 运用边界积分方程求解弹性动力学问题

1975 年 T.A.Cruse 和 F.J.Rizzo 《边界积分方程用法：在应用力学中的计算应用》（第一本专著）

1977 年，在英国 South Ampton 大学商定采用边界元法这一名称

1979 年起，英国 C.A.Brebbia 每年组织召开一次国际边界元法学术会议，成立国际边界元协会 ISBE

1984 创办《工程分析——计算技术中的创新》，1989 年改名为《边界元工程分析》，现为 SCI 收录期刊。

目前，边界元法主要有如下开发软件：

C.A.Brebbia 组织开发的 BEASY (<http://www.beasy.com/>)，现在该软件已涉及机械设计、疲劳与裂纹扩展、声学设计、腐蚀和阴极保护、耐久性评定、损伤容限设计、电镀仿真等领域

加拿大 IES 公司开发的边界元软件 (<http://www.integratedsoft.com/>)

Coyote 公司的 AutoMEMS，采用快速多极算法取代常规边界元算法（抱歉我没找到网站）

边界元法的核心思想是这样的：只求解边界未知量（边界面力、边界位移）求得边界应力，不必求计算域内的位移场和应力场，对于计算域内的场可以通过相应的边界积分方程得到。边界元法与有限元法相比，在断裂力学中应用时，边界元法有着自己独特的优势，特别是在解决裂纹扩展问题时，因为边界元法解具有奇异性，很好的解决了力的奇异性这一问题，用 FEM 解决裂纹扩展问题时，每次扩展，有限元法都要重现划分网格，但是在边界元法中，只需要重新增加边界元就好。边界元和有限元相比，具有降低问题维数、相同离散条件下精度更高的优点，在解决半无限问题和断裂问题时优于有限元。

但是边界元法也有其缺点。首先边界元法要求存在域内解析基本解，包括良好收敛性的级数解，对于非均匀介质的问题无能为力。而且边界元法系数矩阵是满阵，而且一般情况为非对角阵。设想一个二维问题 5000 边界节点，10000 自由度，系数矩阵 100000000 个元素，每个元素双精度数，仅仅是系数矩阵就要占据 800M 空间。如果域内方程非线性，边界元积分方程中只含边界未知量的优势不复存在。所以现在大多采用有限元-边界元耦合

的方法（因为 FEM 和 BEM 程序结构差别很大，没有专门的商业软件）

首先介绍用边界元方法解决三维弹性问题：

考虑如下三维弹性问题的边值问题

$$\left. \begin{aligned} \lambda u_{k,kk} + G(u_{i,jj} + u_{j,ii}) + f_i &= 0, & \text{区域 } \Omega \text{ 内} \\ u_i &= \bar{u}_i, & \text{边界 } \Gamma_u \text{ 上} \\ p_i &= \sigma_{ij} n_j \\ &= \lambda u_{k,k} n_i + G(u_{i,j} n_j + u_{j,i} n_i) \\ &= \bar{p}_i, & \text{边界 } \Gamma_p \text{ 上} \end{aligned} \right\}, \quad (5.6)$$

式中的 $i, j, k = 1, 2, 3$ 。

基本解 $u_{ik}^*(P, Q)$ 是满足下列方程

$$\begin{aligned} \lambda u_{ik,kk}^*(P, Q) + G[u_{ii,jj}^*(P, Q) + u_{jj,ii}^*(P, Q)] + \delta(P - Q)\delta_{ik} \\ = 0, \quad (i, j, k, l = 1, 2, 3) \end{aligned} \quad (5.7)$$

的二点函数为

$$u_{ik}^*(P, Q) = \frac{1}{16\pi G(1-\nu)r} [(3-4\nu)\delta_{ik} + r_{,i}r_{,k}], \quad (5.8)$$

式中的 P, Q 为三维无限弹性体中的任意两点， r 为这两点之间的距离。

与二维问题相同，在式(5.6)第一式的两边乘上基本解 u_{ik}^* ，在区域 Ω 上积分，应用积分定理，得积分方程为

$$\begin{aligned} u_i(P) = \int_{\Gamma} [u_{ik}^*(P, Q') p_k(Q') - u_k(Q') p_{ik}^*(P, Q')] d\Gamma(Q') \\ + \int_{\Omega} u_{ik}^*(P, Q) f_k(Q) d\Omega(Q), \end{aligned} \quad (5.9)$$

其中，对应基本解 u_{ik}^* 的表面力为

$$\begin{aligned} p_{ik}(P, Q') = -\frac{1}{8\pi(1-\nu)r^2} \left\{ \frac{\partial r}{\partial n} [(1-2\nu)\delta_{ik} + 3r_{,i}r_{,k}] \right. \\ \left. - (1-2\nu)(r_{,i}n_k - r_{,k}n_i) \right\}. \end{aligned} \quad (5.10)$$

用位势问题相同的方法，当区域内的点 P 移到边界上时，以 Q' 点为球心，作一半径为 ε 的球面，考虑 $\varepsilon \rightarrow 0$ 时的极限，由式(5.9)可得边界积分方程为

$$\begin{aligned} C_{ik}(P') u_k(P') = \int_{\Gamma} [u_{ik}^*(P', Q') p_k(Q') \\ - u_k(Q') p_{ik}^*(P', Q')] d\Gamma(Q') \\ + \int_{\Omega} u_{ik}^*(P', Q) f_k(Q) d\Omega(Q), \end{aligned} \quad (5.11)$$

式中的系数 $C_{ik}(P')$ 也是与边界点的边界几何形状有关的量，也可以用 4.2.3 节中的方法，不直接计算它的值。对于光滑边界，有

$$C_{ik}(P') = \begin{pmatrix} \frac{1}{2} & 0 & 0 \\ 0 & \frac{1}{2} & 0 \\ 0 & 0 & \frac{1}{2} \end{pmatrix}.$$

将积分方程式(5.9)代入几何方程式(3.14),再代入物理方程式(3.17),可得区域内应力分量的表达式为

$$\begin{aligned}\sigma_{ij}(P) = & \int_{\Gamma} D_{kij}(P, Q') p_k(Q') d\Gamma(Q') \\ & - \int_{\Gamma} S_{kij}(P, Q') u_k(Q') d\Gamma(Q') \\ & + \int_{\Omega} D_{kij}(P, Q) f_k(Q) d\Omega(Q),\end{aligned}\quad (5.12)$$

式中

$$\left. \begin{aligned}D_{kij} &= \frac{1}{8\pi(1-\nu)r^2} [(1-2\nu)(\delta_{ik}r_{,j} + \delta_{jk}r_{,i} \\ &\quad - \delta_{ij}r_{,k}) + 3r_{,i}r_{,j}r_{,k}] \\ S_{kij} &= \frac{G}{4\pi(1-\nu)r^3} \left\{ 3 \frac{\partial r}{\partial n} [(1-2\nu)\delta_{ij}r_{,k} + \nu(\delta_{ik}r_{,j} \right. \\ &\quad + \delta_{jk}r_{,i}) - 5r_{,i}r_{,j}r_{,k}] + 3\nu(r_{,i}r_{,k}r_{,j}n + r_{,j}r_{,k}n_i) \\ &\quad + (1-2\nu)(\delta_{ik}n_j + \delta_{jk}n_i + 3r_{,i}r_{,j}n_k) \\ &\quad \left. - (1-4\nu)\delta_{ij}n_k \right\}\end{aligned}\right\} \quad (5.13)$$

将边界积分方程式(5.11)离散,按边界条件求出边界上未知的位移分量和表面力分量。然后通过离散后的积分方程式(5.9)和式(5.12)计算区域内任意点的位移分量和应力分量。与体积力项有关的积分,可把区域分成有限个小区域,由数值计算得到。

用边界元方法解决断裂力学问题:

考虑线弹性断裂力学问题。如图 5-5 所示无限平面内有一个裂纹的情况,裂纹尖端附近的应力、位移是所研究点到裂纹尖端距离 r 和 θ 的函数。

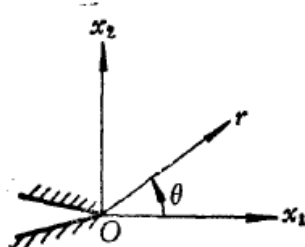


图 5-5

对于 I 型裂纹(张开型),如图 5-6(a)所示,应力分量和位移分量分别为

$$\begin{pmatrix} \sigma_{11} \\ \sigma_{22} \\ \sigma_{12} \end{pmatrix} = \frac{K_I}{\sqrt{2\pi r}} \cos \frac{\theta}{2} \begin{pmatrix} 1 - \sin \frac{\theta}{2} \sin \frac{3\theta}{2} \\ 1 + \sin \frac{\theta}{2} \sin \frac{3\theta}{2} \\ \sin \frac{\theta}{2} \cos \frac{3\theta}{2} \end{pmatrix} \quad (5.37)$$

$$\begin{pmatrix} u_1 \\ u_2 \end{pmatrix} = \frac{K_I}{2G} \sqrt{\frac{r}{2\pi}} \begin{pmatrix} \cos \frac{\theta}{2} \left(\kappa - 1 + 2 \sin^2 \frac{\theta}{2} \right) \\ \sin \frac{\theta}{2} \left(\kappa + 1 - 2 \cos^2 \frac{\theta}{2} \right) \end{pmatrix}. \quad (5.38)$$

对于 II 型裂纹 (面内剪切型), 如图 5-6(b) 所示, 应力分量和位移分量分别为

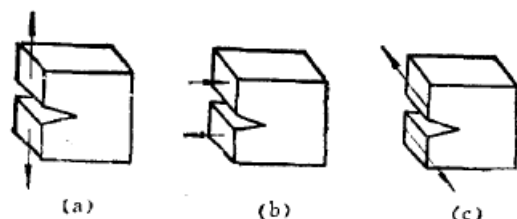


图 5-6

$$\begin{pmatrix} \sigma_{11} \\ \sigma_{22} \\ \sigma_{12} \end{pmatrix} = \frac{K_{II}}{\sqrt{2\pi r}} \begin{pmatrix} -\sin \frac{\theta}{2} \left(2 + \cos \frac{\theta}{2} \cos \frac{3\theta}{2} \right) \\ \sin \frac{\theta}{2} \cos \frac{\theta}{2} \cos \frac{3\theta}{2} \\ \cos \frac{\theta}{2} \left(1 - \sin \frac{\theta}{2} \sin \frac{3\theta}{2} \right) \end{pmatrix} \quad (5.39)$$

和

$$\begin{pmatrix} u_1 \\ u_2 \end{pmatrix} = \frac{K_{II}}{2G} \sqrt{\frac{r}{2\pi}} \begin{pmatrix} \sin \frac{\theta}{2} \left(\kappa + 1 + 2 \cos^2 \frac{\theta}{2} \right) \\ -\cos \frac{\theta}{2} \left(\kappa - 1 - 2 \sin^2 \frac{\theta}{2} \right) \end{pmatrix}. \quad (5.40)$$

对于 III 型裂纹 (面外剪切型), 如图 5.6(c) 所示, 应力分量和位移分量分别为

$$\begin{pmatrix} \sigma_{13} \\ \sigma_{23} \end{pmatrix} = \frac{K_{III}}{\sqrt{2\pi r}} \begin{pmatrix} -\sin \frac{\theta}{2} \\ \cos \frac{\theta}{2} \end{pmatrix}, \quad (5.41)$$

$$u_3 = \frac{2K_{III}}{G} \sqrt{\frac{r}{2\pi}} \sin \frac{\theta}{2}. \quad (5.42)$$

以上各式中, K_I 、 K_{II} 和 K_{III} 分别是 I 型、II 型和 III 型裂纹的应力强度因子。G 为材料的剪切弹性模量, κ 为:

平面应变问题 $\kappa = 3 - 4\nu$,

平面应力问题 $\kappa = \frac{3 - \nu}{1 + \nu}$,

其中的 ν 为材料的泊桑比。

因此, 对于平面应力问题应力强度因子可从下式求出:

$$\begin{pmatrix} K_I \\ K_{II} \\ K_{III} \end{pmatrix} = \lim_{r \rightarrow 0} \sqrt{2\pi r} \begin{pmatrix} \sigma_{22} \\ \sigma_{12} \\ \sigma_{23} \end{pmatrix}_{\theta=0} \quad (5.43)$$

$$\begin{pmatrix} K_I \\ K_{II} \\ K_{III} \end{pmatrix} = \frac{1}{4} \lim_{r \rightarrow 0} \sqrt{\frac{2\pi}{r}} \begin{pmatrix} Eu_2 \\ Eu_1 \\ \frac{E}{1+\nu} u_3 \end{pmatrix}_{\theta=\pi}, \quad (5.44)$$

其中的 E 为材料的拉压弹性模量。

平面应变问题场合, 应将式(5.44)中的 E 换为 $\frac{E}{1-\nu^2}$ 。

可见, 把裂纹面作为边界面, 用弹性问题的边界元法计算应力或位移, 然后按得到的应力分量或位移分量由外插法可求得应力强度因子。

总结: 我们在选择使用边界元方法或是有限元方法时, 应根据问题特点灵活选择, 或者是部分单元采用有限元部分单元采用边界元, 已达到最优解。

参考文献:

[1] <http://www.uta.edu/faculty/rccli/TopTen/topten.pdf>

[2] 姚振汉 王海涛 《边界元法》高等教育出版社

[3] 姚振汉 蒲军平 尹欣 段小华 《边界元法应用的若干近期研究》清华大学工程力学系

[4] 快速多极方法的概念性介绍 应乐兴 《中国科学》杂志

[5] ExaFMM (<http://www.bu.edu/exafmm/>)